

# 네온방전관형 오존발생기의 방전특성 및 오존생성특성에 관한 연구

송현직<sup>0</sup>, 우 성훈, 김 상구, 김 기채, 이 광식, 이 동인  
영남대학교 공과대학 전기전자공학부

## A Study on the Characteristics of Discharge and Ozone Generation for Ozonizer of Neon Discharge Tube Type

H.J.Song<sup>0</sup>, S.H.Woo, S.G.Kim, K.C.Kim, K.S.Lee, D.I.Lee  
School of Electrical and Electronic Engineering of Yeungnam University

### ABSTRACT

In this paper, ozonizer of neon discharge tube type( Neolamp ) by using silent discharge has been designed and manufactured. The discharge and ozone generation characteristics of Neolamp have been studied with variation of turn-on number( N ) of Neolamp, quality( Q ) and shape of external electrode. The discharge voltage is proportional to gap spacing of spiral external electrode( G ) for constant applied volatge. The discharge current is inversely proportional to G for constant applied volatge. The ozone concentration is inversely proportional to Q and G. Also, ozone concentration and generation are proportional to N. The sterilization characteristics of *Escherichia coli* have been obtained more than 97[%] at 1.30[mg/ℓ] of liquid ozone concentration.

$V_d$ ) 및 방전전류(  $I_d$  )과 오존생성특성( 오존생성농도(  $O_{3con}$  ) 및 오존발생량(  $O_{3g}$  ) )을 연구검토하였으며, 그리고 환경개선분야로의 적용성을 연구하기 위하여 발생된 오존을 이용하여 미생물( *Escherichia coli*, *E.coli* )에 대한 살균특성을 조사하였다.

### 2. 無聲放電에 의한 오존생성 및 분해이론

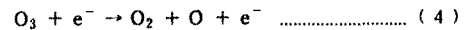
無聲放電에 의한 오존생성이론은 한쪽 혹은 양쪽면의 전극에 유리 또는 세라믹과 같은 유전체를 삽입한 미소방전공간( Gap spacing : 1 ~ 3[mm] )에 산소를 함유한 원료가스를 대기압하에서 통과시킬 때, 兩전극간에 교류고전압을 인가하면 방전공간에서는 기체방전에 의하여 원료가스중에 포함된 산소의 일부가 오존을 생성하면서 오존발생기의 출구로 오존화 가스가 유출한다.<sup>[1][9]</sup>

이때 원료가스가 산소인 경우, 주로 다음 반응식 ( 1 ) 및 ( 2 )에 의하여 오존이 생성된다.<sup>[10]</sup>



( M = O, O<sub>2</sub> 또는 O<sub>3</sub> )

또한 無聲放電에 의한 오존분해이론은 주로 다음 식 ( 3 ), ( 4 ) 및 ( 5 )에 의하여 이루어진다.<sup>[10]</sup>



### 3. 실험장치 및 방법

#### 3.1 실험장치

그림 1 및 2는 Neolamp 의 개략도를 나타낸 것이다. 그림 1에서 내부진공도( P )가 10<sup>-4</sup>[torr]이고 내부도모막 길이( L )가 100[mm]인 Neolamp 의 내부전극은 최대직경이 7[mm]이고 길이가 50[mm]인 원추형 전극을 사용하였고, 외부전극으로는 구리에 규칙도금한 세선의 간격( G )을 각각 0.5, 1 및 2[cm]로 하여 그림에서와 같이 나선형으로 유리관 외부에 200[mm]범위이내로 감아 외부전극을 구성하였다. 이때 n은 각각 33회, 16회 및 9회로 설정하였다. 원추형 내부전극과 나선형 외부전극사이에는 두께 1[mm]이고 길이 290[mm]인 납유리를 유전체로 하여 無聲放電에 의해 오존을 생성하도록 하는 구조이다. 그리고 그림 2는

### 1. 서 론

리우환경회의 이후 세계각국에서는 환경오염물질을 정화하기 위한 연구가 활발히 진행되고 있으며, 특히 오존( O<sub>3</sub> )이 환경오염물질개선에 탁월하다는 점이 주목을 받고 있다.

오존은 자연계에서 불소( F ) 다음으로 강한 산화력을 가지고 있으므로 박테리아, 바이러스 등에 대한 살균효과가 뛰어나고 탈색, 탈취 및 유독물질의 분해는 물론이고 식품저장, 실내공기정화에 응용될 뿐만 아니라, 최종적으로는 산소로 환원되므로 2차공해를 일으키지 않는 장점이 있다. 이러한 특성에 의하여 오존은 그 이용범위가 증가하고 있으며, 최근에는 의료분야, 암모니아제조, NO<sub>x</sub> 제거, 반도체 장치의 고집적화 및 어류양식분야에 이르기까지 그 응용범위를 넓혀가고 있어 그 중요도가 한층 증대되고 실정이다.<sup>[1][2][3][4]</sup>

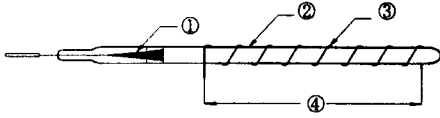
이러한 측면에서 오존을 생성하기 위한 장치에 관한 연구 특히, 기체방전을 이용한 오존발생기에 관한 연구가 진행되고 있다.<sup>[5][6]</sup>

1857년 독일의 W.Von Siemens 가 無聲放電( silent discharge )에 의한 오존발생기를 처음 개발한 이래, 유럽 및 일본을 비롯한 선진국에서는 無聲放電을 이용한 새로운 형태의 오존발생기에 대한 연구개발이 광범위하게 진행되어 왔으나, 국내에서는 현재까지도 이에 관한 연구가 대단히 미흡한 실정이다.<sup>[6][7]</sup>

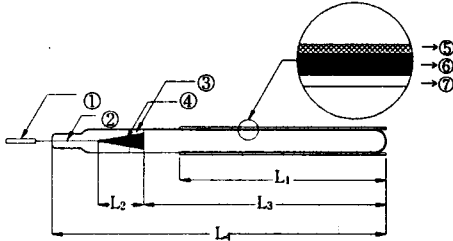
이러한 관점에서 본 연구는 네온방전관의 형태와 無聲放電을 이용한 네온방전관형 오존발생기( Neolamp )를 설계·제작하여 원료가스가 산소인 경우 외부전극의 형태, 원료가스의 유량( Q ) 및 Neolamp 의 점등개수( N ) 변화에 따른 방전특성( 방전전압(

나선형 외부전극대신에 구리에 규석도금한 길이 200[mm]의 Mesh 형 외부전극을 사용하여 오존을 생성하는 구조이다.

그림 3은 Neolamp 3개를 장착하여 오존생성 및 방전형상을 관측할 수 있도록 2중창으로 구성된 Neolamp 체임버의 단면도 및 측면도이다. 그림 4는 Neolamp 형 오존발생장치의 측정계 및 배치도로써 상용용 산소(순도: 99.99[%])를 유량계로 조정하면서 Neolamp 에 유입시켰다. 이때 Neolamp 로 부터 발생된 오존화가스의 오존생성농도( $O_{3con}$ )는 매실험마다 0.3[l/min]로 표본추출하여 자외선 흡수방식의 기상용 오존측정기(0 ~ 110,000[ppm], Okitronics社, 일본)로 측정하였다.

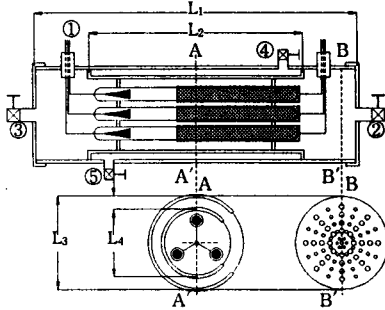


① 원추형 내부전극 ② 납유리  
③ 나선형 외부전극 ④ L: 200[mm]  
그림 1. 나선형 Neolamp 의 개략도



① 듀렛션 ② 리당선 ③ 운모 ④ 원추형 내부전극 ⑤ Mesh 형 외부의 극(t: 1[mm]) ⑥ 납유리(t: 1[mm]) ⑦ 도포피막(t: 0.2[mm])  
 $L_1 = 200[mm]$ ,  $L_2 = 50[mm]$ ,  $L_3 = 270[mm]$ ,  $L_4 = 350[mm]$

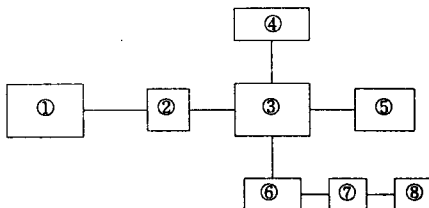
그림 2. Mesh 형 Neolamp 의 개략도



① 전극부 ② 원료가스 주입구 ③ 원료가스 및 오존화가스 배출구  
④ 냉각공기 주입구 ⑤ 냉각공기 배출구

$L_1 = 500[mm]$ ,  $L_2 = 350[mm]$ ,  $L_3 = 210[mm]$ ,  $L_4 = 150[mm]$

그림 3. Neolamp 체임버의 단면도 및 측면도



① 원료가스 공급장치(산소) ② 유량계 ③ Neolamp ④ 전원장치  
⑤ 오존 측정기(기상용) ⑥ 오실로스코프 ⑦ 컴퓨터 ⑧ 프린터

그림 4. Neolamp 의 측정계 및 배치도

또한 그림 4 ④의 전원장치는 펄스형의 Ignition transformer(IT)를 사용하였다. 이때 IT 로 부터 출력되는 전압은 Neolamp 의 점등개수(N)에 따라 각각 독립적으로 공급하였으며, 그림

4의 ⑥, ⑦ 및 ⑧과 같이 방전전압 및 전류파형을 오실로스코프 LeCroy 9350AL, 500 [MHz], 1[Gs/s], 퍼스날 컴퓨터(CPU 80586) 및 프린터를 사용하여 측정 및 출력하였다.

### 3.2 실험방법

Neolamp 의 오존생성특성을 연구검토하기전 전원장치의 특성을 조사하고자 Neolamp 의 전원장치로 사용된 IT 에 Neolamp 를 장착하지 않고 입력전압( $V_1$ )이 150, 170, 190 및 210[V]일때, IT 의 2개단자에서 180[°]의 위상차를 가지면서 각각 13.8, 14.7, 16.0 및 17.0[kV]의 전압이 출력되어 Neolamp 의 전극간에는 27.6, 29.4, 32.0 및 34.0[kV]의  $V_2$  가 인가하는 것으로 나타났다.

Neolamp 의 나선형 외부전극의 간격(G)을 0.5, 1 및 2[cm]로 하고 관외부에 200[mm]범위내에서 n 회로 감았을 때, 각각의 G 에서 방전특성 및 오존생성특성을 연구검토하고자 원료가스의 Q 가 2[l/min]에서  $V_2$  를 가변시키면서 방전전압( $V_d$ ), 방전전류( $I_d$ ),  $O_{3con}$  및 오존발생량( $O_3$ )를 측정 및 계산하였다.

또한  $O_{3con}$  을 향상시키기 위하여 Neolamp 나선형 외부전극 대신에 Mesh 형 외부전극을 유리관 외부에 길이 200[mm]가 되도록 구성하여, Q 가 2[l/min]에서  $V_2$  를 가변시키면서 Neolamp 의  $V_d$ ,  $I_d$ ,  $O_{3con}$  및  $O_3$  를 측정 및 계산하였다.

그리고 Mesh 형 Neolamp 의 오존발생기로서의 생성능을 연구하기 위해 Neolamp 의 점등개수(N)가 각각 1, 2 및 3개일 때, Q 와  $V_2$  를 가변시키면서  $O_{3con}$  및  $O_3$  를 측정 및 계산하였다. 이때,  $O_{3con}$  및  $O_3$  는 매회 측정시 각각 5회 측정 및 계산하여 그 평균치를 채택하였으며, 각각의 전압치 및 전류치는 1회치를 채택하였다.

또한 환경개선분야로의 적용성을 연구하기 위하여 발생된 오존화가스를 이용하여 미생물(*Escherichia coli*, *E.coli*)에 대한 살균특성을 조사하였다.

## 4. 실험결과 및 고찰

### 4.1 나선형 Neolamp 의 방전특성 및 오존생성 특성

그림 5는 Q 가 2[l/min]일 때, Neolamp 나선형 외부전극의 형태변화에 따른 방전특성을 연구하고자 나선형 외부전극의 G 를 각각 0.5, 1 및 2[cm]로 하고 그 길이가 200[mm]가 되도록 n 회(각각 32, 16 및 8회)로 감은 후, G 와  $V_2$  의 변화에 따른  $V_d$  및  $I_d$  를 측정된 것이다. 그림 6 및 사진 1은 그림 5에서  $V_d$  가 10.772[kV],  $I_d$  가 3.057[mA] 및 G 가 0.5[cm]인 경우  $V_d$ ,  $I_d$  파형 및 Neolamp 의 외관을 각각 나타낸 것이다.

그림 5에서와 같이 각 G 에서  $V_2$  가 상승할수록  $V_d$  및  $I_d$  가 상승하는 것으로 나타났으며, 동일한  $V_2$  에서 G 가 짧아질수록  $V_d$  는 저하하고,  $I_d$  는 상승하는 결과로 나타났다.

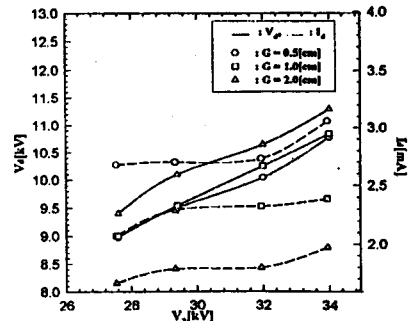


그림 5. G 가 0.5, 1 및 2[cm]인 경우,  $V_2$  변화에 따른  $V_d$  및  $I_d$  특성

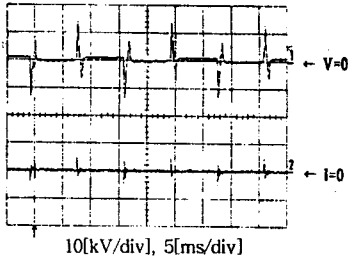


그림 6.  $V_d = 10.772$ [kV],  $I_d = 3.057$ [mA] 및  $G = 0.5$ [cm]인 경우,  $V_d$  및  $I_d$  파형

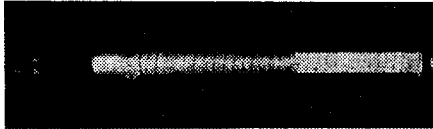


사진 1.  $V_d = 10.772$ [kV],  $I_d = 3.057$ [mA] 및  $G = 0.5$ [cm]인 경우, Neolamp 의 외관

그림 7은 그림 5의 경우에서  $O_{3con}$  를 측정하는 것으로써 각  $G$ 에서  $V_2$  가 상승할수록  $O_{3con}$  이 상승하는 것으로 나타났으며, 동일한  $V_2$  에서  $G$  가 짧아질수록  $O_{3con}$  이 상승하는 것으로 나타났다.

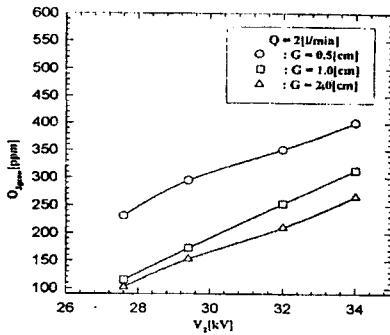


그림 7.  $G = 0.5, 1$  및  $2$ [cm]인 경우,  $V_2$  변화에 따른  $O_{3con}$  특성

따라서 이러한 결과를 통하여  $G$  를 짧게하는 것이 동일한  $V_2$  에서의  $V_d$  를 저하시킴과 동시에 유전체 표면과 나선형 외부전극사이의 방전이 촉진되어  $I_d$  를 상승시킨 결과 오존생성의 제특성을 향상시키는데 좋은 방법이라는 것을 확인할 수 있었다.

## 4.2 Mesh 형 Neolamp 의 방전특성 및 오존생성 특성

Neolamp 의 외부전극으로써  $G$  를 짧게하는 것이 오존생성의 제특성을 향상시키는 좋은 방법이라는 것을 확인하므로써 나선형 외부전극 대신에 길이  $200$ [mm]의 Mesh 형 전극을 사용하여 Neolamp 에서 無聲放電이 발생할 때, 방전특성 및 오존생성특성을 검토하였다.

그림 8은 Mesh 형 Neolamp 의 경우,  $Q$  가  $2$  [ $\ell$ /min]에서  $V_2$  변화에 따른  $V_d$  및  $I_d$  를 나타낸 것이다. 그 결과  $V_2$  가 상승함에 따라서  $V_d$  및  $I_d$  가 상승하는 것으로 나타났다.

또한 그림 9 및 사진 2는 그림 8에서  $V_d = 11.92$ [kV] 및  $I_d = 3.750$ [mA]인 경우의  $V_d$ ,  $I_d$  파형 및 Neolamp 의 외관을 각각 나타낸 것이다.

그림 10의 (a) ~ (d)는  $Q$ ,  $V_d$  및  $N$  변화에 따른  $O_{3con}$  및  $O_{3g}$  특성을 나타낸 것이다. 각 그림에서 동일한  $Q$  에서  $N$  이 증가할수록  $O_{3con}$  이 상승하는 것으로 나타났으며, 동일한  $N$  에

서  $Q$  가 감소할수록  $O_{3con}$  이 상승하는 것으로 나타났다. 그 결과  $Q$  가  $2$  [ $\ell$ /min]이고  $N$  이  $3$ 인 경우 그림 10의 (a) ~ (d) 에서 각각  $611, 742, 921$  및  $1059$ [ppm]의 최대  $O_{3con}$  을 얻을 수 있었다. 그리고 동일한  $N$  에서  $V_d$  가 상승할수록  $O_{3con}$  이 상승하는 것으로 나타났다.

또한  $N$  이  $1$ 인 경우는  $Q$  가  $5$  [ $\ell$ /min]일 때 최대  $O_{3g}$  가 나타나고,  $N$  이  $2$  및  $3$ 인 경우는  $Q$  가  $10$  [ $\ell$ /min]인 경우에 각각 최대  $O_{3g}$  를 얻을 수 있었으며, 동일한  $Q$  에서  $N$  이 증가할수록  $O_{3g}$  가 상승하는 것으로 나타났다. 그 결과  $Q$  가  $10$  [ $\ell$ /min]이고  $N$  이  $3$ 인 경우, 그림 10의 (a) ~ (d)에서 각각  $163.5, 209.3, 268.1$  및  $310.5$ [mg/h]의 최대  $O_{3g}$  를 얻을 수 있었다.

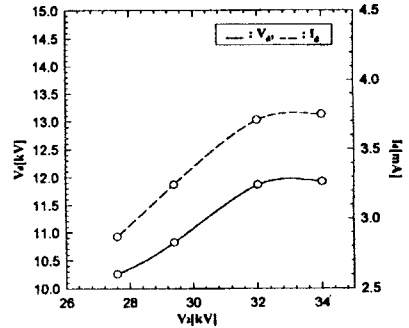


그림 8. Mesh 형 Neolamp 의  $V_2$  변화에 따른  $V_d$  및  $I_d$  특성

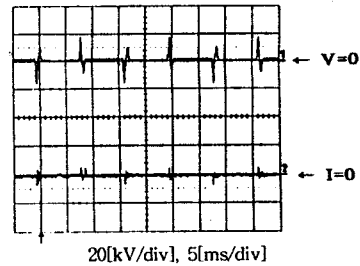
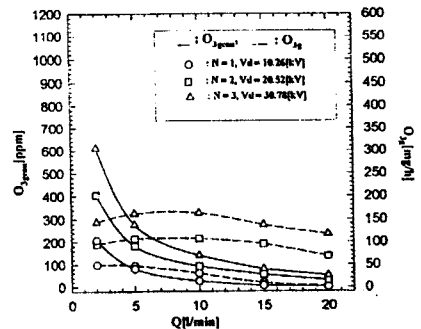


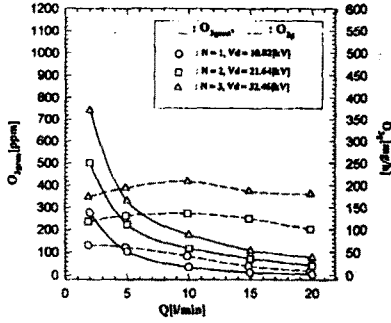
그림 9.  $V_d = 11.92$ [kV] 및  $I_d = 3.750$ [mA]인 경우의  $V_d$  및  $I_d$  파형



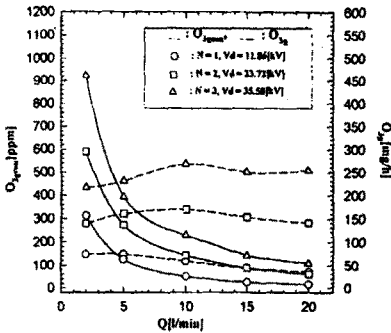
사진 2.  $V_d = 11.92$ [kV] 및  $I_d = 3.750$ [mA]인 경우, Neolamp 의 외관



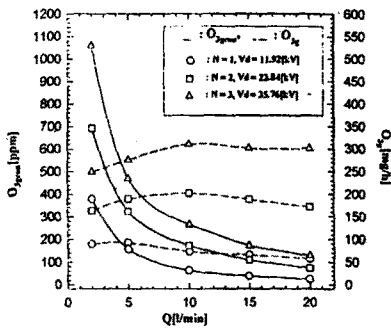
(a)



(b)



(c)

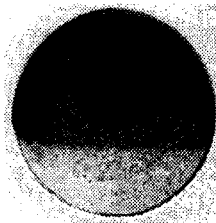


(d)

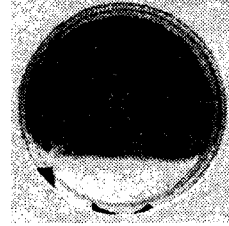
그림 10. Q, V<sub>d</sub> 및 N 의 변화에 따른 O<sub>3gen</sub> 및 O<sub>3g</sub> 특성

### 4.3 대장균( *Escherichia coli* ) 살균특성

사진 3은 Neolamp 로 부터 발생한 오존화 가스를 증류수에 용해시켜 오존수의 농도( O<sub>3con</sub> )가 1.30[mg/l]인 경우, 액상에 존재하는 대장균( *Escherichia coli, E.coli* )을 오존수에 반응시켰을 때의 외관을 나타낸 것이다. 그 결과 반응시간( t )이 5초만에 97[%]이상의 살균특성을 얻을 수 있었다.



( a ) 반응전( 균수 :  $2.75 \times 10^6$  [cells/ml] )



( b ) 반응후( 균수 :  $2.70 \times 10^3$  [cells/ml] )  
 사진 3. O<sub>3con</sub> 이 1.30[mg/l]인 경우, E.coli 의 살균특성의 외관

## 5. 결 론

내온방전관의 형태와 무성방전형의 원리를 응용한 내온방전관형 오존발생기( Neolamp )를 설계·제작하여 방전특성 및 오존생성특성을 연구검토한 결과 다음과 같은 결론을 얻을 수 있었다.

1. Neolamp 의 입력전압( V<sub>2</sub> )에 비례하여 방전전압( V<sub>d</sub> ), 방전전류( I<sub>d</sub> ) 및 오존생성농도( O<sub>3con</sub> )이 상승하였다.
2. 나선형 외부전극의 간격( G )가 짧아질수록 V<sub>d</sub> 는 저하하고 I<sub>d</sub> 는 상승하였으며, O<sub>3con</sub> 이 상승하였다.
3. 원료가스의 유량( Q )이 작을수록 O<sub>3con</sub> 이 상승하였다.
4. Neolamp 의 점등개수( N ) 및 V<sub>d</sub> 가 증가할수록 O<sub>3con</sub> 및 오존발생량( O<sub>3g</sub> )이 상승하였다.
5. 대장균( *Escherichia coli, E.coli* )에 대한 살균특성을 조사한 결과 오존수의 농도( O<sub>3con</sub> )가 1.30[mg/l]인 경우, 오존수와 대장균의 반응시간( t )이 5초만에 97[%]이상의 살균특성을 얻을 수 있었다.

이상의 결과를 이용하여 설계·제작한 Neolamp 는 ( *Escherichia coli, E.coli* ), 호수의 부영양화 대책, 의료요법, NO<sub>x</sub> 및 SO<sub>x</sub> 제거, 섬유표백 등의 환경계선분야에 적용가능하리라고 사료된다.

## 참고문헌

- [1] 李 廣植, 李 東仁, " 氣體放電에 의한 오존생성과 그 응용 ", 大韓電氣學會放電·高電壓(研), 學術發表會論文集, pp.32 - 35, 1992
- [2] 増田 隆, " オゾンで魚を育てる ", 114巻10號, pp.649 - 653, 1994
- [3] 宗宮 功, " オゾンの 應用 ", 電學論D, 114巻4號, pp.362 - 369, 平成6年
- [4] 宗宮 功, " オゾン利用水處理技術 ", 公害對策技術同友會, pp. 83 - 95, 昭和63年
- [5] 加藤 克之, " 發生器とその利用 ", 工業用水, 第34戶, pp.18 - 20, 1987
- [6] S.G.Kim, H.J.Song, K.S.Lee, D.I.Lee, " A study on the Discharge Characteristics in Flowing Gas with Variation of Temperature ", KIEE, Vol.42, NO.4, 1993
- [7] H.J.Song, S.K.Kim, K.S.Lee and D.I.Lee, " A study on the High Voltage Nozzle Type Ozonizer ", 11th International Conference on Gas Discharge and Their Applications, Vol. 2, pp. 320 - 323, 1995
- [8] 宗宮 功, " オゾン發生機構發生裝置 ", 公害對策技術同友會, pp. 27 - 43, 昭和63年
- [9] 石井 啓夫, " 放電によるオゾンの發生機構と裝置 ", 三秀書房, pp.31 - 63, 昭和61年
- [10] 石井 啓夫, " オゾン利用の新技術 ", 三秀書房, pp.152 - 153, 昭和 61年